

# ИНЖИНИРИНГ В ЧЕРНОЙ МЕТАЛЛУРГИИ

УДК 621.77

**Б.В. Кучеряев<sup>1</sup>, П.Ю. Соколов<sup>1</sup>, Н.А. Ночовная<sup>2</sup>, В.В. Кучеряев<sup>2</sup>**

<sup>1</sup> Национальный исследовательский технологический университет «МИСиС»,

<sup>2</sup> Всероссийский научно-исследовательский институт авиационных материалов

## ОПРЕДЕЛЕНИЕ ТЕМПЕРАТУРНО-СКОРОСТНЫХ ПАРАМЕТРОВ ПРОЦЕССА РАСКАТКИ ДИСКОВ

Одним из способов получения дисков различной конфигурации является раскатка из сплошных круглых заготовок [1] (рис. 1), принципиальная схема одного из которых показана на рис. 2.

В рассматриваемом способе ролики сначала внедряются в круглую заготовку, а затем протягиваются к ее периферии, осуществляя процесс раскатки. При этом, для построения математической модели этой стадии, необходимо рассмотреть два процесса. Первый – прокатка в коническом валке в условиях трехмерной деформации (рис. 3), второй – перемещение валка в направлении оси  $E_1$  (рис. 4).

В первом приближении в расчетной схеме (см. рис. 3), использованной для построения кинематически возможного (КВ) поля скоростей прокатки, для упрощения расчетов не учитывается малый угол раскатки, а уширение считается пренебрежимо малым вследствие малого обжатия и конусности валка. Кроме того, перемещение валка может вызывать незначительную деформацию осадки металла, которой также пренебрегаем. Таким образом, для построения упрощенной математической модели достаточно рассмотреть прокатку в коническом валке.

Построение поля скоростей в плоскости  $E_1E_3$  (см. рис. 4) выполним так же, как это было сделано для листовой прокатки в цилиндрических валках в работе [2], где, как и в модели А.И. Целикова [3], дуга захвата аппроксимирована хордой.

Из условия постоянства потока [4] плоского движения среды в зоне II

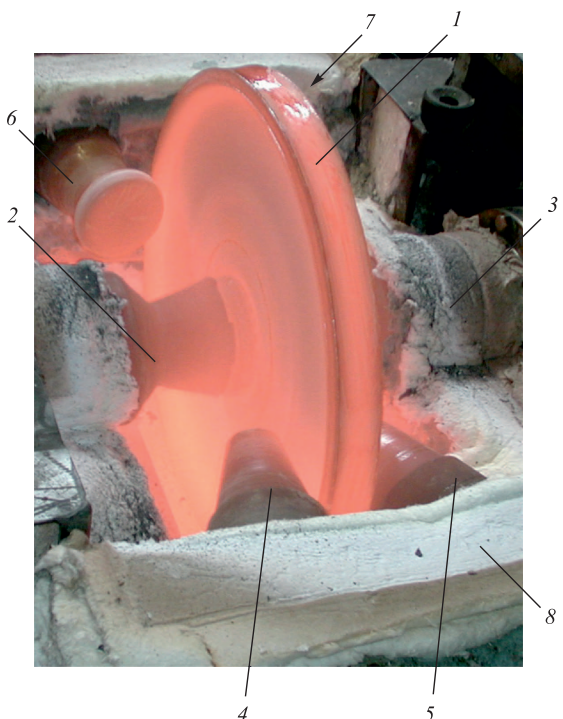


Рис. 1. Раскатка диска на стане СРД-800:  
1 – раскатываемый диск; 2, 3 – пиноли; 4 – 7 – наклонные ролики;  
8 – камера печи

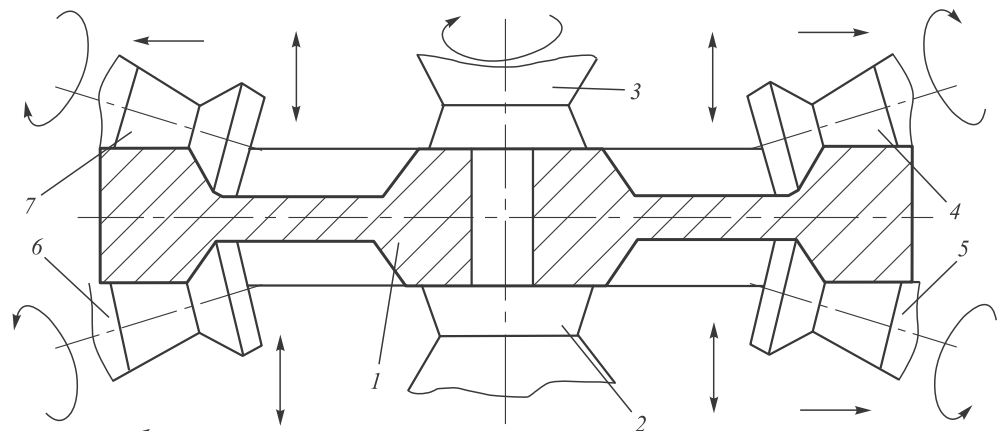


Рис. 2. Схема раскатки дисков:  
1 – раскатываемый диск; 2, 3 – пиноли; 4 – 7 – наклонные ролики

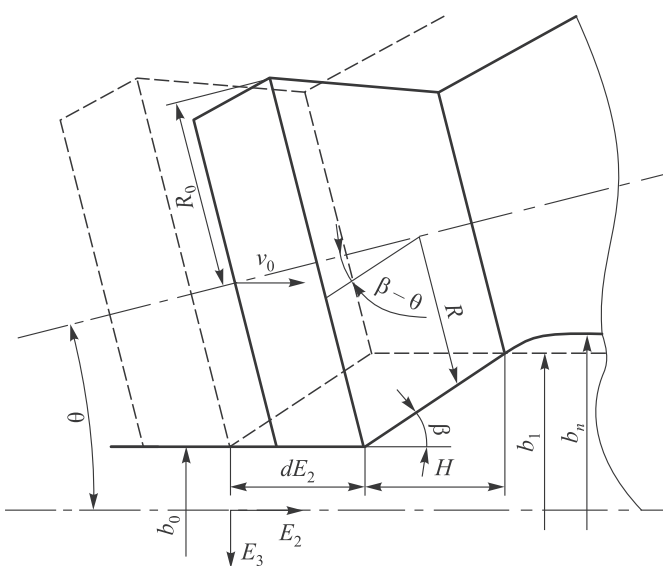


Рис. 3. Схема раскатки в плоскости  $E_2E_3$

$$v_1 = v_0 \frac{h_0}{h}, \quad (1)$$

где при замене дуги захвата хордой с текущей высотой проката, связанной с углом захвата  $\alpha$  формулой

$$h = h_1 - 2E_1 \operatorname{tg} \frac{\alpha}{2}, \quad (2)$$

где

$$\operatorname{tg} \frac{\alpha}{2} = \frac{\Delta h}{2l_{\alpha}}, \quad (3)$$

проекция дуги захвата на горизонтальную ось  $E_1$

$$l_{\alpha} = \sqrt{R\Delta h - \frac{\Delta h^2}{4}};$$

текущий радиус конического валка

$$R = R_0 - \frac{E_2 \operatorname{tg}(\beta - \varphi)}{\cos \beta}. \quad (4)$$

Условие несжимаемости ( $\nabla \cdot \vec{v} = 0$ ) в плоскости  $E_1E_3$  обращается в тождество, если компоненты плоского поля скоростей  $\vec{v}$  записать через функцию тока  $\psi$ :

$$v_3 = \frac{\partial \psi}{\partial E_1}; \quad v_1 = -\frac{\partial \psi}{\partial E_3}.$$

Тогда с учетом (1) получим значение функции тока плоскости  $E_1E_3$ :

$$\psi = -v_0 \frac{h_0 E_3}{h}, \quad (5)$$

где  $v_0$  – начальная скорость прокатки, которая зависит от угловой скорости  $\omega$  врачающейся заготовки и текущего радиуса (4):

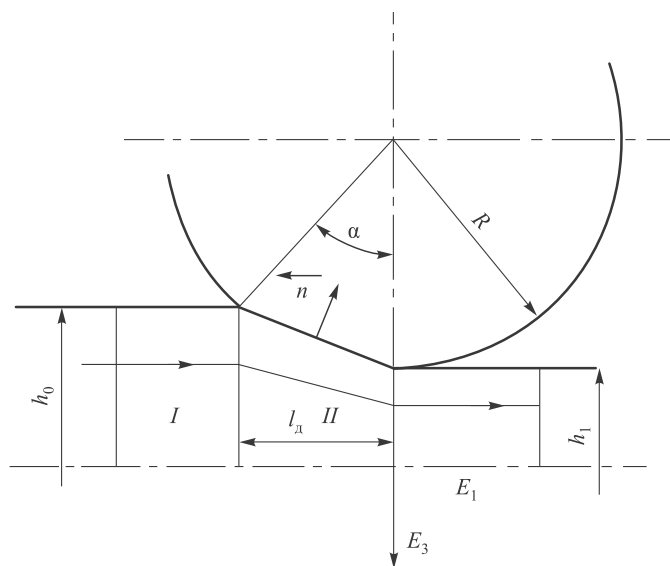


Рис. 4. Расчетная схема прокатки в плоскости  $E_1E_3$

$$v_0 = \omega R. \quad (6)$$

После дифференцирования (5) по  $E_1$  с учетом (1) и (2) находим третью компоненту вектора скорости плоскости  $E_1E_3$ :

$$v_3 = -v_0 \frac{2h_0 E_3}{h^2} \operatorname{tg} \frac{\alpha}{2}. \quad (7)$$

Поле скоростей с компонентами (1), (7) по формуле Дж. Стокса [4]

$$\xi_{ik} = \frac{1}{2} \left( \frac{\partial v_i}{\partial E_k} + \frac{\partial v_k}{\partial E_i} \right)$$

позволяет определить компоненты тензора скоростей деформаций в плоскости  $E_1E_3$ :

$$\begin{aligned} \xi_{11} &= -\xi_{33} = \frac{\partial v_1}{\partial E_1} = 2v_0 \frac{h_0}{h^2} \operatorname{tg} \frac{\alpha}{2}; \\ \xi_{13} &= \xi_{31} = \frac{1}{2} \left( \frac{\partial v_1}{\partial E_3} + \frac{\partial v_3}{\partial E_1} \right) = 4v_0 \frac{h_0 E_3}{h^3} \operatorname{tg}^2 \frac{\alpha}{2}; \\ \xi_{12} &= \xi_{21} = \frac{1}{2} \frac{\partial v_1}{\partial E_{2\alpha}} = 2v_0 \frac{h_0 E_1 \Delta h^2}{h^2 l^3} \frac{\operatorname{tg}(\beta - \varphi)}{\cos \beta}; \\ \xi_{32} &= \xi_{23} = \frac{1}{2} \frac{\partial v_2}{\partial E_{3\alpha}} = 2v_0 \frac{h_0 E_1 \Delta h^2}{h^2 l^3} \frac{\operatorname{tg}(\beta - \varphi)}{\cos \beta} \left( 4 \frac{E_1}{h} \operatorname{tg} \frac{\alpha}{2} + 1 \right). \end{aligned} \quad (8)$$

Отметим, что благодаря (6), плоское поле скоростей (1), (7) приводит к трехмерному тензору скоростей деформаций

$$T_{\xi} = \begin{bmatrix} \xi_{11} & \xi_{12} & \xi_{13} \\ \xi_{21} & 0 & \xi_{23} \\ \xi_{31} & \xi_{32} & \xi_{33} \end{bmatrix},$$

что принципиально отличает новую модель от модели работы [2].

Далее находим интенсивность сдвиговых скоростей деформаций для несжимаемых сред [4]:

$$H = 2\sqrt{\xi_{11}^2 + \xi_{12}^2 + \xi_{23}^2 + \xi_{13}^2}. \quad (9)$$

Интенсивность сдвиговых скоростей деформаций для идеальной жесткопластичной среды  $T = t_t = \text{const}$  [4] позволяет оценить деформационный разогрев металла [4, 5]. Температура деформационного разогрева

$$\theta = \theta_0 + \frac{\Lambda \tau_\tau}{c \rho J_m}, \quad (10)$$

где  $\theta_0$  – начальная температура металла;  $c$  – удельная теплоемкость;  $\rho$  – плотность;  $J_m$  – механический эквивалент тепла;  $\Lambda$  – степень деформации сдвига [6]:

$$\Lambda = \int H dt = 2 \ln \left( \operatorname{tg} \frac{\pi h_0}{4H} \operatorname{ctg} \frac{\pi h_i}{4H} \right); \quad (11)$$

$H$  – масштабный фактор, определяемый геометрическими параметрами прокатки:

$$R = \frac{H c_2}{\pi c_1} \sin^2 \frac{\pi r}{2H} \left( 1 + \frac{c_2^2}{c_1^2} \operatorname{ctg}^2 \frac{\pi r}{2H} \right)^{\frac{3}{2}}; \quad (12)$$

$$r = \frac{h_0 h_i}{h_0 + h_i}; \quad c_1 = \frac{\lambda - 1}{2}; \quad c_2 = \frac{\lambda + 1}{2}; \quad \lambda = \frac{h_0}{h_i}.$$

УДК 621.771

**Л.С. Кохан, А.В. Алдунин**

Московский государственный открытый университет им. В.С. Черномырдина

## МИНИМИЗАЦИЯ УШИРЕНИЯ ПРИ ПРОКАТКЕ ТОНКОПОЛОСОВОГО МЕТАЛЛА

При прокатке тонких полос из различных сплавов уширение сопровождается значительными напряжениями растяжения на их боковых кромках [1]. Излишнее уширение приводит к появлению трещин в кромках и даже обрыву прокатываемых полос. Для узких полос, предназначенных для изготовления шинопроводов и гнутых профилей, потери металла при обрезке дефектных кромок достигают 5 – 10 %.

На сегодня имеются отдельные представления о зависимости уширения прокатываемых полос от относительного обжатия  $\varepsilon$  и отношения начальной ширины  $b_0$  к длине дуги деформации  $l$  [2], отношения  $b_0$  к начальной критической ширине  $b_{0k}$ , а также от величины заднего натяжения [1, 3].

Из теоретических исследований также известно, что суммарное уширение в геометрическом очаге деформации определяется соотношением протяженности зон отставания  $l_{\text{от}}$  и опережения  $l_{\text{оп}}$  (рис. 1). Обычно при

Полученную новую математическую модель можно использовать для оценки условий раскатки, соответствующих сверхпластическому состоянию деформируемого металла так, как это было сделано для процесса листовой прокатки в работе [7].

## БИБЛИОГРАФИЧЕСКИЙ СПИСОК

1. Кайбышев О.А., Утяшев Ф.З. Сверхпластичность, измельчение микроструктуры и обработка труднодеформируемых сплавов. – М.: Наука, 2002. – 438 с.
2. Кучеряев Б.В., Зиновьев А.В., Крахт В.Б. и др. // Производство проката 2001. № 7. С. 6 – 9.
3. Целиков А.И. // Металлургия. 1939. № 6. С. 61 – 76.
4. Кучеряев Б.В. Механика сплошных сред. Теоретические основы обработки давлением композитных металлов с задачами и решениями, примерами и упражнениями: Учеб. для вузов. – М.: МИСИС, 2006. – 604 с.
5. Лыков А.В. Теория теплопроводности. – М.: Высшая школа, 1967. – 600с.
6. Кучеряев Б.В., Потапов И.Н. // Изв. вуз. Черная металлургия. 1974. № 4. С. 78 – 81.
7. Кучеряев Б.В., Смирнов О.М., Тинигин Н.И. Математическое моделирование процесса прокатки сплава ЖС6-КП в состоянии сверхпластичности. Сб. «Теория и технология обработки металлов давлением» № 102. – М.: Металлургия, 1977. С. 44 – 48.

© 2012 г. Б.В. Кучеряев, П.Ю. Соколов,

Н.А. Ночная, В.В. Кучеряев

Поступила 10 февраля 2012 г.

симметричном режиме натяжения величина уширения в зоне отставания больше, чем в зоне опережения [4].

Существенное влияние на деформационные и силовые параметры в очаге деформации при прокатке полос данного размерного сортамента оказывает положение нейтрального сечения, зависящее, прежде всего, от относительного обжатия, радиуса рабочих валков, коэффициента контактного трения, режима натяжения и коэффициента упрочнения обрабатываемого металла.

В данной работе в процессе теоретических исследований определяли коэффициент нейтрального сечения очага деформации [5]:

$$Z = \frac{h_0}{h_i} = \left[ \frac{\sqrt{k^2 + \frac{(\xi_0 \cdot \delta - k)(\xi_1 \cdot \delta + k)}{(1-\varepsilon)^\delta}} - k}{\delta \cdot \xi_0 - k} \right]^{1/\delta}, \quad (1)$$